

JTM3485

RFDot 产品, RoHS 认证, 绿色无铅封装
封装类型: DIP/SO

RoHS

产品概述

JTM3485 是一款+5.0V 工作电压, +15kV ESD 保护, RS-485 和 RS-422 通信系统的收发芯片, 包含一个发送器和一个接受器。

JTM3485 传输和接收的数据传输率可高达 2.5Mbps, 为半双工型。另外, JTM3485 有驱动使能(DE)和接收使能(RE)管脚, 当关闭时, 驱动和接收输出为高阻。

产品应用

低功耗 RS-485 收发器
低功耗 RS-422 收发器
电平转换
防电磁干扰(EMI)的收发器
工控局域网

产品特点

- ◆ 静电保护(ESD): ±15kV-人体模式(HBM)
- ◆ 三态输出
- ◆ 半双工
- ◆ 总线允许多达 256 个收发器

芯片封装

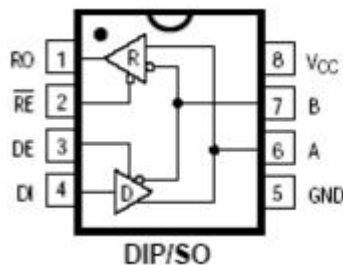


图 1 封装图

引脚功能描述

引脚	名字	功能
1	RO	接收输出端: A 端电压比 B 端高 0V 时 RO 为高, A 端电压比 B 端低 300mV 时 RO 为低
2	RE	接收使能端: 低电平有效, RE 为高时, 接收输出为高阻
3	DE	发送使能端: 高电平有效, DE 为低时, 发送输出为高阻。 DE 为高电平时 芯片工作在发送状态, DE 为低电平且 RE 为低电平时芯片工作在接收状态。
4	DI	发送数据输入端: DI 为低时, A 输出高电平 B 输出低电平, DI 为高时正好相反。
5	GND	地, 电源负端
6	A	正向接收输入端也即正向发送输出端
7	B	反向接收输入端也即反向发送输出端
8	Vcc	电源正端

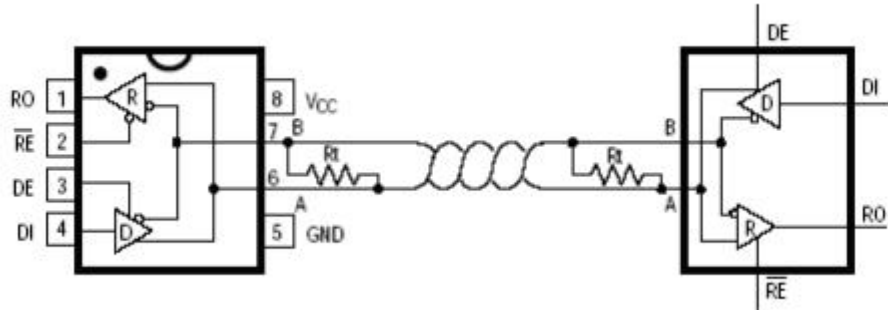


图 2 产品应用示意图

产品功能表

表 1 发送

输入			输出	
RE	DE	DI	Z	Y
X	1	1	0	1
X	1	0	1	0
0	0	X	High-Z	High-Z
1	0	X	High-Z	High-Z

X = 无关

High-Z = 高阻

表 2 接收

输入			输出
RE	DE	A-B	RO
0	0	≥ 0	1
0	0	≤ -0.3	0
0	0	输入开路	1
1	0	X	High-Z

X = 无关

High-Z = 高阻

产品绝对最大额定值

供电电压(Vcc).....	+12V
控制输入电压(RE, DE).....	-0.5V 至 +12V
驱动输入电压(DI).....	-0.5V 至 +12V
驱动输出电压(A, B).....	-0.5V 至 +12V
接收输入电压(A, B).....	-0.5V 至 +12V
接收输出电压(RO).....	-0.5V 至 +12V
连续功率谱(TA = +70 °C)	
8 脚塑封 DIP (+70 °C 以上 -9.08mW/ °C).....	725mW
8 脚 SO (+70 °C 以上 -5.85mW/ °C).....	470mW
存贮温度范围.....	-65 °C 至+160 °C
工作温度范围.....	-40 °C 至+85 °C
焊锡温度(10 秒).....	+300 °C

最大允许额定值是指超过这些值可能会使器件发生不可恢复的损坏。在这些条件之下是不利于器件正常运作的，器件连续工作在最大允许额定值下可能影响器件可靠性，所有的电压的参考点为地。

产品直流电学特性

(如无特别说明 $Vdd=5V \pm 5\%$, $Ta= T_{MIN} \text{ to } T_{MAX}$) (注 1,2)

PARAMETER	SYMBOL	CONDITIONS	MIN	TYP	MAX	UNITS
工作电压	Vcc		4.5	5	5.5	V
驱动差分输出(无负载)	V _{OD1}			5		V
驱动差分输出(带负载)	V _{OD2}	R=50Ω , 图 3	2	3.6		V
互补输出状态驱动差分输出电压的变化幅度	ΔV _{OD}			0.2		V
驱动共模输出电压	V _{OC}			3		V
互补输出状态驱动共模输出电压的变化幅度	ΔV _{OC}			0.2		V
输入高电压	V _{IH}	DE ,RE	2			V
		DI	2.8			V
输入低电压	V _{IL}	DE ,RE		0.8		V
		DI		1.6		

输入电流	I _{IN1}	DE ,RE, DI		± 2		uA
输入电流(A, B)	I _{IN2}	DE = 0V; VCC = 5V	V _{IN} = 5V	60	150	uA
			V _{IN} = 0	180	400	
接收差分阈值电压	V _{TH}			-180		mV
接收输入滞后	ΔV_{TH}			70		mV
接收输出高电压	V _{OH}	IO = -4mA, VID = 200mV		3.5	4.5	V
接收输出低电压	V _{OL}	IO = 4mA, VID = -200mV		0.2	0.4	V
接收三态 (高阻) 输出电流	I _{OZR}	0.4V ≤ VO ≤ 2.4V		± 1		uA
接收输入阻抗	R _{IN}			50		kΩ
无负载供电电流	I _{CC}	RE、 DI=0 or V _{CC}	DE=V _{CC}	0.75	1.6	mA
			DE=0	0.75	1.5	
驱动短路电流 (VO = High)	I _{OSD1}	DE=RE=5V DI=0 V _A =5V		120	250	mA
驱动短路电流 (VO = Low)	I _{OSD2}	DE=RE=5V DI=0 V _B =0		120	250	mA
接收短路电流	I _{OSR}	0V ≤ VO ≤ VCC		60	100	mA
ESD 保护	A, B, Y and Z pins, tested using Human Body Model			± 15		kV

开关特性

(如无特别说明 $Vdd=5V \pm 5\%$, $Ta = T_{MIN} \text{ to } T_{MAX}$) (注 1,2)

PARAMETER	SYMBOL	CONDITIONS	MIN	TYP	MAX	UNITS
驱动输入到输出	t _{PLH}	图 5, 图 8, R _{diff} =50Ω , CL1=CL2=100pF,	40	70	90	ns
	t _{PHL}		10	40	60	ns
驱动输出压摆到输出	t _{SKEW}			30	ns	
驱动上升与下降时间	t _R			40	60	ns
	t _F			40	60	ns
驱动开启到输出为高	t _{ZH}	图 6, 图 10, CL=100pF, S2 关闭	50	70	ns	
驱动开启到输出为低	t _{ZL}	图 6, 图 10, CL=100pF, S1 关闭	50	70	ns	

驱动从低到关闭	t_{LZ}	图 6, 图 10, $CL=100pF$, S1 关闭	100	120	ns
驱动从高到关闭	t_{HZ}	图 6, 图 10, $CL=100pF$, S2 关闭	90	110	ns
接收输入到输出	t_{PLH}	图 5, 图 9, $R_{diff}=50\Omega$, $CL1=CL2=100pF$,	20	60	200 ns
	t_{PHL}		20	40	200 ns
$ t_{PLH} - t_{PHL} $ 差分 接收压摆	t_{SKD}			20	ns
接收开启到输出为 低	t_{ZL}	图 4, 图 11, $CL=15pF$, S2 关闭	50	80	ns
接收开启到输出为 高	t_{ZH}	图 4, 图 11, $CL=15pF$, S1 关闭	60	90	ns
接收从低到关闭	t_{LZ}	图 4, 图 11, $CL=15pF$, S2 关闭	50	80	ns
接收从高到关闭	t_{HZ}	图 4, 图 11, $CL=15pF$, S1 关闭	60	90	ns
最大数据率	f_{MAX}		2.5		Mbps

注 1: 所有典型情况指 $vdd=5V$, $Ta=25^{\circ}C$;

注 2: 所有输入到管脚的电流为正, 所有从管脚输出的电流为负; 如无特别指出, 则电压指
对地电压;

产品测试电路

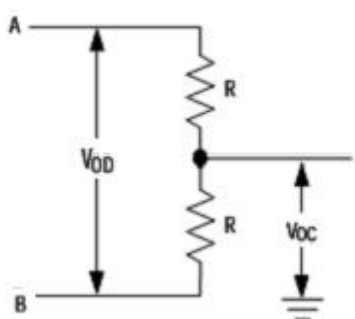


图 3 直流驱动测试电路

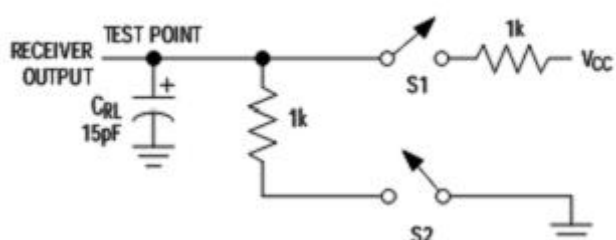


图 4 接收时间测试电路

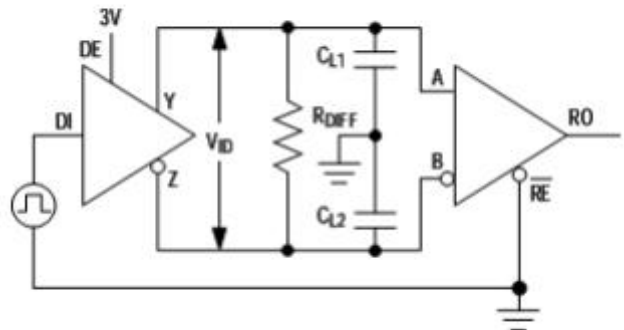


图 5 驱动/接收时间测试电路

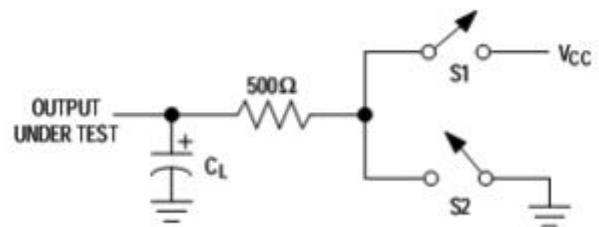


图 6 驱动时间测试电路

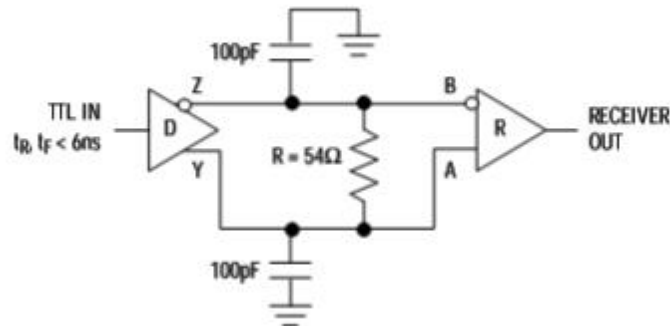


图 7 接收传输延时测试电路

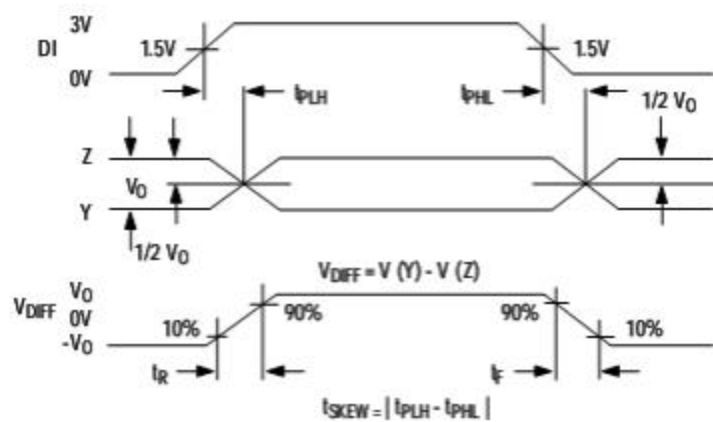


图 8 驱动传输延时

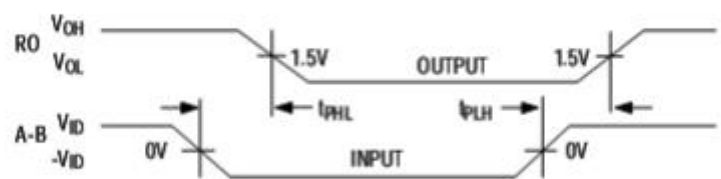


图 9 接收传输延时

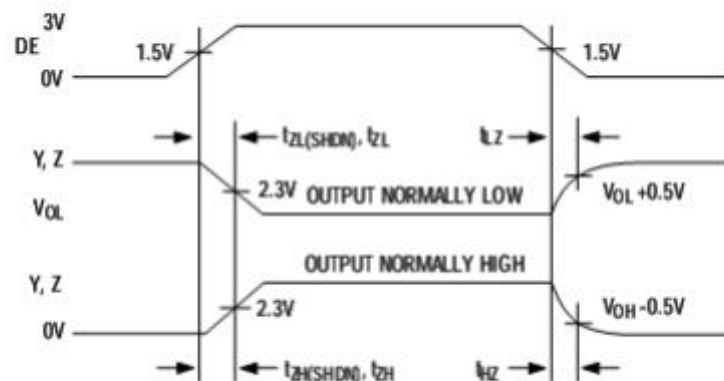


图 10 驱动开启和关闭时间

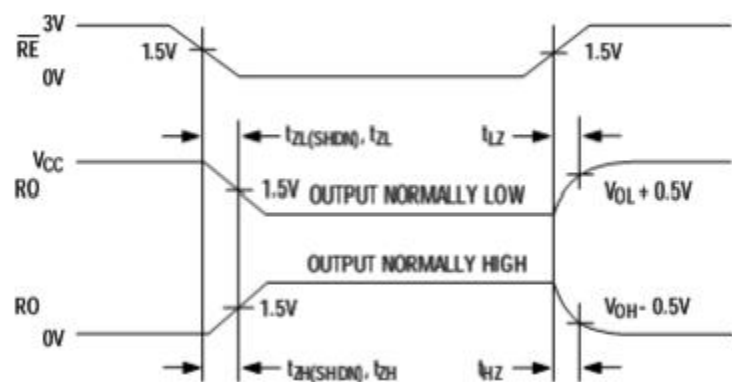


图 11 接收开启和关闭时间